

M.M. ANTONIJEVIĆ, V. GARDIĆ, S.M. MILIĆ,
S.Č. ALAGIĆ, A.T. STAMENKOVIĆ, M. JOJIĆ

Originalni naučni rad
UDC:669.35.7:621.357.2/3=861

Elektrohemski ponašanje Cu24Zn5Al legure u rastvoru boraksa u prisustvu 1-fenil-5-merkapto-tetrazola

U radu su predstavljeni rezultati ispitivanja uticaja inhibitora 1-fenil-5-merkapto-tetrazola (PMT)-a na elektrohemski ponašanje legure Cu24Zn5Al u rastvoru natrijum-tetraborata (boraksa). Polarizaciona merenja su vršena u rastvoru 0,1 mol/dm³ boraksa kome je dodavan inhibitor PMT različitim koncentracijama ($1 \cdot 10^{-6}$ mol/dm³– $1 \cdot 10^{-2}$ mol/dm³), kao i merenja nakon izlaganja elektrode rastvoru 1-fenil-5-merkapto-tetrazola u trajanju od 5, 15 i 60 min. Nađeno je da PMT pokazuje bolje inhibitorske osobine u slučajevima kada se elektroda Cu24Zn5Al izlaže izvesno vreme rastvoru PMT-a. Takođe, vršena su i polarizaciona merenja Cu24Zn5Al legure u prisustvu i odsustvu hloridnih jona ($1 \cdot 10^{-4}$ mol/dm³– $5 \cdot 10^{-2}$ mol/dm³), sa (15 min) i bez prethodnog stajanja elektrode u rastvoru PMT-a. Adsorpcija 1-fenil-5-merkapto-tetrazola na površini Cu24Zn5Al elektrode pokorava se Lengmirovoj adsorpcionoj izotermi.

Ključne reči: legura Cu24Zn5Al, 1-fenil-5-merkapto-tetrazol, natrijum-tetraborat, hloridni joni, korozija

1. UVOD

Zbog veoma velike industrijske, posebno široke tehničke primene, otpornosti bakra i legura bakra na koroziju, ovi materijali su predmet ispitivanja velikog broja istraživača. U legurama bakra sa cinkom, aluminijum svojim karakteristikama poboljšava konstrukcione osobine legura. Radi se o legurama koje sadrže ovaj legirajući elemenat u količini od 7,5 %.

Osobine legura bakra sa cinkom, legiranih aluminijumom, zavise od prirode legirajućeg elementa. Povećana koroziona postojanost ovih legura uslovljena je obrazovanjem zaštitnog filma Al₂O₃ u procesu oksidacije. Aluminijum u bakru ne utiče bitno na mehaničke osobine i sposobnost za preradu u plastičnom stanju, i ako se one povećanjem količine aluminijuma poboljšavaju. Aluminijum povećava korozionu postojanost i smanjuje oksidacionu sposobnost bakra. On snižava električnu i toplotnu provodljivost bakra. Dodatak aluminijuma pozitivno utiče i na korozionu postojanost i erozivnost u morskoj vodi i vodenoj pari. Aluminijum širi temperaturni interval očvršćavanja i povećava skupljanje [1].

U težnji da se korozija, ako ne u potpunosti zaustavi, ona bar uspori, ispitivano je dejstvo mnogih inhibitora u različitim rastvorima. Pod inhibitorima se podrazumevaju supstance koje po uvođenju u korozionu sredinu, obično u malim količinama, mogu u velikoj meri da smanje brzinu elektrohemiske korozije metala i legura. Po svojoj prirodi inhibitori korozije su hemijska jedinjenja koja se adsorbuju na površini metala. Fizički, fizičko-hemijski ili hemijski

inhibitori se vežu za površinu metala i formiraju tanak film koji usporava koroziju i koji služi kao barijera koja ne dozvoljava direktni kontakt između metala i sredine u kojoj se metal nalazi.

Dobra inhibitorska svojstva pokazali su organski inhibitori. Ispitivani su azoli [2], triazoli [3], među kojima se kao najbolji inhibitor bakra i njegovih legura izdvojio benzotriazol (BTA) u kiselim, baznim i neutralnim rastvorima [4-6], tetrazoli, među kojima najveću primenu ima 1-fenil-5-merkapto-tetrazol (PMT) [7-9], zatim tiazoli [10], imidiazoli, anilin [11] i mnoga druga jedinjenja. Zaštita ovim organskim jedinjenjima se obično pripisuje njihovoj interakciji sa površinom bakra ili legura bakra.

Inhibitorski efekat ovih organskih jedinjenja počava se prisustvom heteroatoma (S, N i O) u prstenu, čija aktivnost raste u nizu: O < N < S. Postoje suprotne mišljenja o ulozi merkapto grupe u inhibiranju procesa na elektrodi. Prema nekim autorima S atom reaguje sa metalnom površinom i formira nerastvorni zaštitni kompleks. Drugi autori smatraju da se inhibitor hemisorbuje na metalnoj površini preko S atoma. Još uvek nije najjasnije, koji mehanizam zaštite je značajniji: hemisorbcija inhibitora ili formiranje kompleksnog jedinjenja. Adsorpcija inhibitora na metalnoj površini zavisi od prirode i površine metala, načina adsorpcije, hemijske strukture i tipa elektrolita. Jedinjenja iz grupe azola mogu inhibirati korozione procese na bakru i njegovim legurama, što se može objasniti formiranjem jona Cu²⁺ i njihovom adsorpcijom na metalnoj površini [12-13]. Inhibitorsko dejstvo azola može biti objasnjeno hemisorpcijom, ali i fizičkom adsorpcijom na površini legure bakra [14].

Jedan od inhibitora koji je pokazao visoku efikasnost je i 1-fenil-5-merkapto-tetrazol (PMT). U ovom

Adresa autora: Univerzitet u Beogradu, Tehnički fakultet Bor, P.Fah 50, 19210 Bor, Srbija

radu ispitivano je elektrohemijsko ponašanje legure bakra Cu24Zn5Al u rastvorima boraksa uz dodatak različih koncentracija inhibitora PMT-a. Takođe je ispitivan i efekat hlorida na elektrohemijsko ponašanje legure Cu24Zn5Al.

2. EKSPERIMENTALNI DEO

2.1. Priprema elektrode

Pri izvođenju eksperimenata, kao radna elektroda korišćena je elektroda Cu24Zn5Al, koja je dobijena zatapanjem Cu24Zn5Al žice u masu na bazi metilmetakrilata. Površina Cu24Zn5Al elektrode iznosila je $0,49 \text{ cm}^2$. Elektroda je polirana glinicom (Al_2O_3) krupnoće 1 μm , ispirana destilovanom vodom i sušena. Merenja su vršena na kompjuterizovanom potencijostatu sa klasičnom troelektrodnom čelijom. Kao referentna elektroda korišćena je zasićena kalomelova elektroda (ZKE), dok je platska elektroda korišćena kao pomoćna. Sve vrednosti potencijala u radu, date su u odnosu na zasićenu kalomelovu elektrodu.

2.2. Korišćeni reagensi

Svi rastvori su pripremani od hemikalija p.a. čistoće. U toku rada korišćen je rastvor $\text{Na}_2\text{B}_4\text{O}_7$ koncentracije $0,1 \text{ mol/dm}^3$. Za ispitivanje uticaja hlorida, rastvoru boraksa dodavan je natrijum hlorid, tako da su dobijeni rastvori u kojima je koncentracija hloridnih jona iznosila: $5 \cdot 10^{-2} \text{ mol/dm}^3$, $1 \cdot 10^{-2} \text{ mol/dm}^3$, $1 \cdot 10^{-3} \text{ mol/dm}^3$ i $1 \cdot 10^{-4} \text{ mol/dm}^3$. U rastvor boraksa dodavan je i rastvor inhibitora 1-fenil-5-merkapto-tetrazola. Koncentracija rastvora inhibitora iznosila je: $1 \cdot 10^{-2} \text{ mol/dm}^3$, $5 \cdot 10^{-3} \text{ mol/dm}^3$, $1 \cdot 10^{-3} \text{ mol/dm}^3$, $5 \cdot 10^{-4} \text{ mol/dm}^3$, $1 \cdot 10^{-4} \text{ mol/dm}^3$, $5 \cdot 10^{-5} \text{ mol/dm}^3$, $1 \cdot 10^{-5} \text{ mol/dm}^3$ i $1 \cdot 10^{-6} \text{ mol/dm}^3$. Ispitivan je i uticaj stajanja elektrode u rastvoru inhibitora. Tom prilikom korišćen je rastvor PMT-a koncentracije $0,017 \text{ mol/dm}^3$.

2.3. Procedura

Za elektrohemijска испитивања коришћена је апаратура која се састојала од потенциостата који је био директно повезан на компјутер преко AD картице. Методе које су примењиване у току испитивања биле су: мерење потенцијала отвореног кола и линеарна волтаметрија. Потенцијал отвореног кола је одређиван током 5 мин. Након тога снимане су анодне polarizacione криве, од потенцијала отвореног кола до приближно 1,0 V_{ZKE}. Меренja су vršena pri brzini promene potencijala od 10 mV/s. Сva merenja su vršena na sobnoj temperaturi.

Elektrohemijске karakteristike legure Cu24Zn5Al u rastvoru natrijum-tetraborata са dodatkom испитиваног inhibitora 1-fenil-5-merkapto-tetrazola и hlorida, испитиване су на sledeći начин:

- Polarizaciona merenja su vršena u rastvoru bo-

raksa sa dodatkom različitih koncentracija inhibitora ($1 \cdot 10^{-2} \text{ mol/dm}^3$, $5 \cdot 10^{-3} \text{ mol/dm}^3$, $1 \cdot 10^{-3} \text{ mol/dm}^3$, $5 \cdot 10^{-4} \text{ mol/dm}^3$, $1 \cdot 10^{-4} \text{ mol/dm}^3$, $5 \cdot 10^{-5} \text{ mol/dm}^3$, $1 \cdot 10^{-5} \text{ mol/dm}^3$ i $1 \cdot 10^{-6} \text{ mol/dm}^3$).

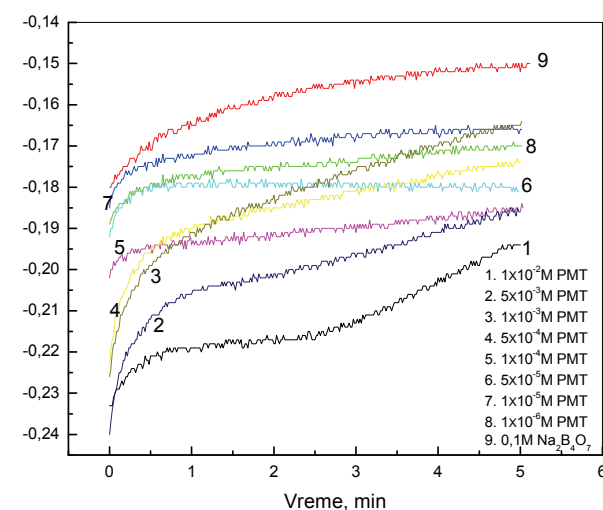
- Elektroda je stajala 5, 15 i 60 minuta u $0,017 \text{ mol/dm}^3$ rastvoru PMT-a, затим је ispirana destilovanom vodom i unošена у радни rastvor boraksa, у коме су одmah vršena polarizaciona merenja.
- Polarizaciona merenja su vršena u rastvoru boraksa sa dodatkom rastvora NaCl različitih koncentracija ($1 \cdot 10^{-2} \text{ mol/dm}^3$, $1 \cdot 10^{-3} \text{ mol/dm}^3$ i $1 \cdot 10^{-4} \text{ mol/dm}^3$).
- Cu24Zn5Al elektroda je stajala 15 minuta u $0,017 \text{ mol/dm}^3$ rastvoru PMT-a, ispirana destilovanom vodom i unošена у радни rastvor boraksa који је sadržavao i hloridне jone različitih koncentracija ($5 \cdot 10^{-2} \text{ mol/dm}^3$, $1 \cdot 10^{-2} \text{ mol/dm}^3$, $1 \cdot 10^{-3} \text{ mol/dm}^3$ i $1 \cdot 10^{-4} \text{ mol/dm}^3$) где су vršena polarizaciona merenja.

3. REZULTATI I DISKUSIJA

3.1. Uticaj koncentracije 1-fenil-5-merkapto-tetrazola na ponašanje Cu24Zn5Al legure u rastvoru boraksa

3.1.1. Potencijal otvorenog kola

Promena potencijala otvorenog kola Cu24Zn5Al legure praćena je u vremenu od 5 min, u rastvoru boraksa i boraksa који је sadržavao različite koncentracije inhibitora PMT-a, а rezultati су приказани на слици 1.



Slika 1 - Zavisnost potencijala otvorenog kola od vremena Cu24Zn5Al legure u rastvoru boraksa i boraksa sa različitim koncentracijama PMT-a

U tabeli 1 су date vrednosti potencijala otvorenog kola које су регистроване након стајања испитиване legure од 5 min у rastvoru boraksa и boraksa sa različitim koncentracijama inhibitora 1-fenil-5-mer-

kapto-tetrazola.

Tabela 1 - Vrednosti potencijala otvorenog kola Cu24Zn5Al legure u rastvoru boraksa i boraksa sa različitim koncentracijama PMT-a

C_{inh} , mol/dm ³	—	$1 \cdot 10^{-6}$	$1 \cdot 10^{-5}$	$5 \cdot 10^{-5}$	$1 \cdot 10^{-4}$	$5 \cdot 10^{-4}$	$1 \cdot 10^{-3}$	$5 \cdot 10^{-3}$	$1 \cdot 10^{-2}$
Potencijal otvorenog kola, V _{ZKE}	-0,150	-0,170	-0,166	-0,181	-0,185	-0,174	-0,165	-0,186	-0,194

Na osnovu prikazanih podataka može se videti da potencijal otvorenog kola postaje pozitivniji sa porastom vremena. Iz podataka prikazanih u tabeli 1, može se takođe videti da sa porastom koncentracije inhibitora, potencijal otvorenog kola postaje nešto negativniji od potencijala otvorenog kola u čistom rastvoru boraksa i kreće se u intervalu od - 0,165 V do - 0,194 V. S obzirom da nema pravilnosti u pogledu zavisnosti potencijala otvorenog kola i koncentracije PMT-a, može se reći da je jako mali ili zanemarljiv uticaj koncentracije PMT-a na potencijal otvorenog kola. Uočava se da se pri nižim koncentracijama PMT-a javljaju male promene potencijala otvorenog kola. Takođe, sa slike 1 i iz tabele 1 može se uočiti, da su potencijali otvorenog kola Cu24Zn5Al legure nešto negativniji u rastvorima boraksa sa inhibitorom, od potencijala otvorenog kola koji je registrovan u rastvoru boraksa bez inhibitora (kriva 9, slika 1).

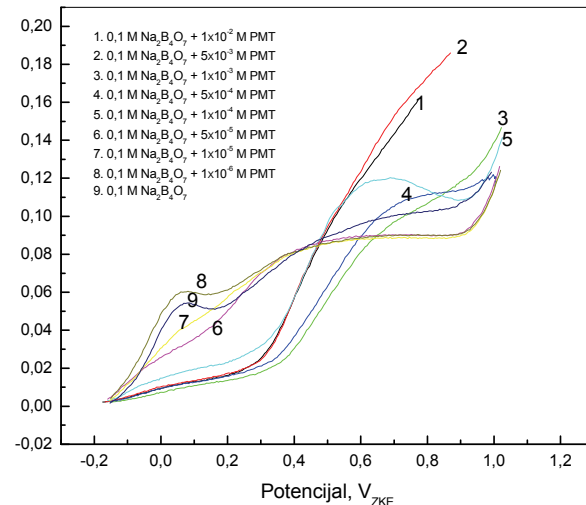
3.1.2. Polarizaciona merenja

Polarizacione krive Cu24Zn5Al legure u rastvorima boraksa bez inhibitora i u rastvorima boraksa sa različitim koncentracijama PMT-a, prikazane su na slici 2.

Sa krive 9 (slika 2) koja predstavlja anodnu krivu polarizacije Cu24Zn5Al legure u rastvoru čistog boraksa, vidi se da se na nižim potencijalima javlja jasan strujni pik. Iz literaturnih podataka [15-18] i E-pH dijagrama [19], može se zaključiti da potencijal uočenog strujnog pika odgovara građenju Cu₂O. Na tom potencijalu se dešava oksidacija Cu do Cu⁺ (Cu - e⁻ = Cu⁺).

Kod ostalih potenciodinamičkih krivih u prisustvu različitih koncentracija PMT-a nema karakterističnih pikova (izuzev kod najniže koncentracije PMT-a). Uočljivo je da su vrednosti gustine struja manje u odnosu na krivu bez PMT-a. Ovo ukazuje na to da PMT smanjuje anodno rastvaranje bakra. Najmanje vrednosti gustine struje, od vrednosti potencijala otvorenog kola do vrednosti potencijala od 0,3 V_{ZKE}, primećene su u rastvoru boraksa koji je sadržavao PMT u koncentraciji od 10⁻³ mol/dm³ (kriva 3). Ovakvo dejstvo inhibitora PMT-a može se tumačiti stvaranjem zaštitnog filma na površini ispitivane legure, koji pored inhibitora sadrži i Cu⁺ ion, što se može predstaviti: PMT / Cu₂O / Cu [20]. Na najnižoj

koncentraciji inhibitora (kriva 8) se registruju anodne struje veće od struja koje su zabeležene pri polarizaciji ispitivane legure u rastvoru čistog boraksa, što ukazuje na to da niže koncentracije inhibitora PMT-a imaju aktivatorsko dejstvo. Ovaj efekat se može tumačiti time što sloj Cu₂O nagrađen na površini legure bakra u rastvoru bez dodatka inhibitora PMT-a, ima snažnije inhibitorsko dejstvo od nižih koncentracija PMT-a, zbog toga što su niže koncentracije inhibitora nedovoljne za formiranje zaštitnog filma, ali su dovoljne za sprečavanje formiranja debljeg sloja oksida bakra Cu₂O, tako da površina legure Cu24Zn5Al ostaje bez ikakve zaštite.



Slika 2 - Polarizacione krive Cu24Zn5Al legure u rastvoru boraksa i boraksa sa različitim koncentracijama PMT-a

Mihit i saradnici [7] su snimali polarizacione krive bakra u rastvoru HNO₃ sa dodatkom PMT-a i uočili da se najbolji inhibitorski efekat dostiže pri koncentraciji inhibitora od 10⁻³ mol/dm³. Inhibitorski efekat PMT-a je posledica formiranja zaštitnog filma na površini bakra. Isti autori uočavaju i karakteristični anodni pik u rastvoru HNO₃ sa dodatkom PMT-a u koncentraciji 10⁻³ mol/dm³, a koji svedoči o građenju Cu-PMT kompleksa. Oni zaključuju da PMT utiče na gustinu struje i na potencijalima višim od 500 mV_{ZKE}.

Ye i dr. [20] su našli da inhibitorsko svojstvo filma zavisi od koncentracije PMT-a. Gust zaštitni film koji se gradi, je postojan pri koncentraciji PMT od 5 · 10⁻³ mol/dm³. Ovi autori su predložili da se ponašanje PMT-a na Cu površini najbolje može opisati

postojanjem kompozitne strukture: PMT / Cu₂O / Cu. Pored toga, našli su da sa smanjenjem koncentracije inhibitora raste gustina struje, jer se verovatno zaštitni film na površini elektrode gradi suviše sporo, ali i pored toga, PMT rastvor i manjih koncentracija, pokazuju dobru zaštitu.

Szöcs i dr. [21] su takođe snimali polarizacione krive bakra u 0,1 mol/dm³ Na₂SO₄, bez i sa dodatkom inhibitora PMT-a i uočili njegov inhibitorski efekat.

Na osnovu polarizacionih krivih izračunavan je i stepen pokrivenosti površine elektrode inhibitorom u zavisnosti od koncentracije PMT-a (1·10⁻², 5·10⁻³, 1·10⁻³, 5·10⁻⁴, 1·10⁻⁴, 5·10⁻⁵, 1·10⁻⁵ i 1·10⁻⁶ mol/dm³).

Stepen pokrivenosti površine inhibitorom (θ) izračunava se prema jednačini :

$$\theta (\%) = [(I_{corr} - I_{corr(inh)}) / I_{corr}] \cdot 100 \quad (1)$$

gde je:

I_{corr} - gustina struje u rastvoru bez inhibitora

$I_{corr(inh)}$ - gustina struje u rastvoru sa inhibitorom.

Iz tabele 2 se vidi, da sa porastom koncentracije inhibitora dolazi do porasta stepena pokrivenosti legure Cu24Zn5Al. Najveći stepen pokrivenosti postignut je pri koncentraciji PMT-a od 1·10⁻³ mol/dm³ i iznosio je 81,84 %.

Takođe, iz tabele 2 se vidi, da su na većim potencijalima stepeni pokrivenosti manji, što je verovatno uslovljeno prelaskom Cu(I) u zaštitnom filmu u više oksidaciono stanje, što utiče na stabilnost zaštitnog filma i dovodi do opadanja stepena pokrivenosti.

Tabela 2 - Vrednosti stepena pokrivenosti Cu24Zn5Al legure u zavisnosti od koncentracije PMT-a na različitim vrednostima potencijala

C_{PMT} , mol/dm ³	θ , %		
	0,0	0,2	0,4
1·10 ⁻²	76,88	69,65	26,80
5·10 ⁻³	73,98	69,02	26,90
1·10 ⁻³	81,84	74,51	61,90
5·10 ⁻⁴	76,48	70,61	52,97
1·10 ⁻⁴	63,82	57,29	28,62
5·10 ⁻⁵	37,11	5,97	/
1·10 ⁻⁵	24,25	/	/
1·10 ⁻⁶	/	/	/

3.1.3. Adsorpciona izoterna

Ispitivan je mehanizam adsorpcije PMT-a na površini Cu24Zn5Al elektrode korišćenjem Lengmirove izoterme. Smatra se da je adsorpcija inhibitora na površini metala najbitniji stupanj u mehanizmu inhibicije [22]. Lengmirovu adsorpcionu izotermu dobijamo iz relacije:

$$\theta / 1 - \theta = AC \exp(-\Delta G / RT) = KC \quad (2)$$

gde su:

K - kostanta adsorpcionog procesa

ΔG - adsorpciona energija

θ - stepen pokrivenosti

C - koncentracija PMT-a

R - univerzalna gasna konstanta

T - termodinamička temperatura.

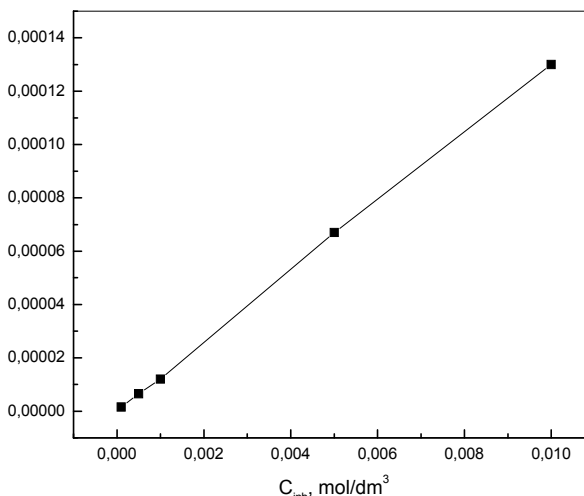
Osnovna jednačina se transformiše u:

$$C/\theta = 1/K + C \quad (3)$$

Konstantu adsorpcionog procesa određujemo iz izraza:

$$K = 1/55,5 \exp(-\Delta G / RT) \quad (4)$$

Na slici 3 prikazana je zavisnost C/θ u funkciji koncentracije PMT-a, u rastvoru bez hlorida, koja je dobijena na osnovu stepena pokrivenosti (tabela 2) kod odgovarajućih koncentracija PMT-a.



Slika 3 - Zavisnost C/θ od koncentracije inhibitora PMT-a

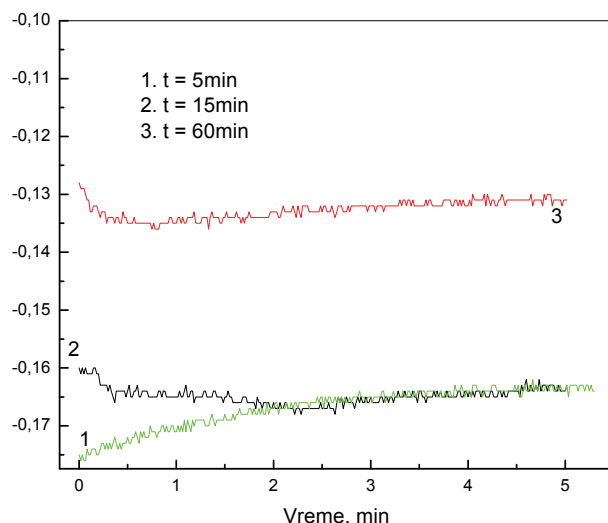
Iz prikazanih jednačina se vidi da zavisnost C/θ od C treba da se pokorava linearnoj zavisnosti, sa odsečkom 1/K. Korišćenjem jednačine 4 izračunava se vrednost adsorpcione slobodne energije. Obradom i korišćenjem slike 3 i jednačine 4, određena je vrednost za $\Delta G_{ads} = -45,8$ kJ/mol. Ova vrednost za $-\Delta G_{ads}$ u intervalu koncentracija 1-fenil-5-merkapto-tetrazola od $1,0 \cdot 10^{-2}$ mol/dm³ do $1,0 \cdot 10^{-4}$ mol/dm³, ukazuje na spontanu reakciju adsorpcije 1-fenil-5-merkapto-tetrazola na površini elektrode, kao i na zastupljenost hemisorpcije u interakciji inhibitora PMT-a i površine ispitivane Cu24Zn5Al legure.

3.2. Uticaj vremena eksponicije Cu24Zn5Al legure u rastvoru 1-fenil-5-merkapto-tetrazola

3.2.1. Potencijal otvorenog kola

U ovom radu vršena su i elektrohemijačka ispitivanja uticaja vremena stajanja Cu24Zn5Al elektrode u rastvoru PMT-a koncentracije $0,017 \text{ mol}/\text{dm}^3$. Eksperimenti su izvođeni tako što je elektroda Cu24Zn5Al stajala 5, 15 i 60 min u rastvoru inhibitora, a zatim je prenošena u rastvor boraksa, u kome su mereni potencijali otvorenog kola. Nakon merenja potencijala, vršena je anodna polarizacija.

Na slici 4 prikazana je promena potencijala otvorenog kola za ispitivanu elektrodu, u rastvoru boraksa sa prethodnim stajanjem elektrode u rastvoru inhibitora PMT-a.



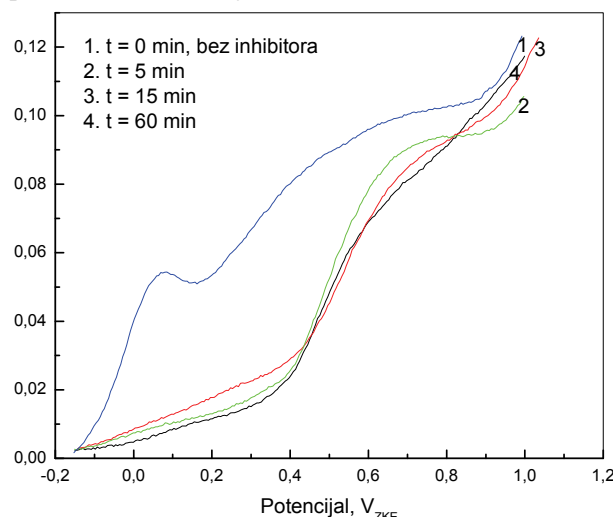
Slika 4 - Zavisnost potencijala otvorenog kola Cu24Zn5Al legure od vremena, u rastvoru boraksa sa prethodnim stajanjem elektrode u $0,017 \text{ mol}/\text{dm}^3$ rastvoru PMT-a

Prikazane zavisnosti pokazuju da se potencijal otvorenog kola Cu24Zn5Al legure u rastvoru $0,1 \text{ mol}/\text{dm}^3 \text{ Na}_2\text{B}_4\text{O}_7$ malo menja sa porastom vremena stajanja u rastvoru PMT-a. Sa Slike 4 može se uočiti da sa vremenom uranjanja od 60 min, potencijal kola pokazuje znatno pozitivniju vrednost, što se objašnjava formiranjem stabilnog inhibirajućeg filma na površini elektrode. Upoređujući potencijal otvorenog kola Cu24Zn5Al kada je u rastvoru boraksa dodat PMT (slika 1) sa prethodnim stajanjem elektrode u $0,017 \text{ mol}/\text{dm}^3$ rastvoru PMT-a (slika 4), uočava se da su u drugom slučaju vrednosti korozionog potencijala pozitivniji, naročito u slučaju dužeg stajanja elektrode u rastvoru PMT-a.

3.2.2. Polarizaciona merenja

Na slici 5 prikazane su polarizacione krive za ispitivanu elektrodu u rastvoru boraksa bez inhibitora i boraksa sa različitim vremenom stajanja u rastvoru inhibitora 1-fenil-5-merkapto-tetrazola. Eksperimenti su obavljeni tako što je elektroda stajala u $0,017 \text{ mol}/\text{dm}^3$ rastvoru PMT-a (5, 15 i 60 min). Elektroda

Cu24Zn5Al je zatim ispirana destilovanom vodom i prenošena u rastvor boraksa u kome su izvršena polarizaciona merenja.



Slika 5 - Polarizacione krive Cu24Zn5Al legure u rastvoru boraksa i boraksa sa prethodnim stajanjem elektrode u $0,017 \text{ mol}/\text{dm}^3$ rastvoru PMT-a

Sa slike 5 može se uočiti, da su vrednosti gustina struje do potencijala od $0,4 \text{ V}_{\text{ZKE}}$ nakon stajanja elektrode u ispitivanom rastvoru, međusobno približnih vrednosti. Kada se porede anodne struje, u tom opsegu potencijala, koje su dobijene polarizacijom Cu24Zn5Al legure koja nije prethodno stajala u rastvoru inhibitora (kriva 1, slika 5), sa anodnim strujama dobijenim nakon stajanja elektrode u rastvoru inhibitora, može se videti da postoji velika razlika njihovih vrednosti, što ukazuje na to, da se stajanjem legure u rastvoru PMT-a, površina legure štiti od dalje oksidacije slojem koji se formira u interakciji inhibitora i metalne površine.

Tabela 3 - Vrednosti stepena pokrivenosti Cu24Zn5Al legure u zavisnosti od vremena izlaganja elektrode $0,017 \text{ mol}/\text{dm}^3$ rastvoru PMT-a na različitim vrednostima potencijala

t, min	0, %		
	E, V 0,0	E, V 0,2	E, V 0,4
5	81,64	75,66	67,71
15	78,25	66,83	63,37
60	87,24	78,28	69,51

Na višim potencijalima dolazi do desorpcije zaštitnog sloja što dovodi do smanjenja inhibitorskog dejstva [23]. Iz tabele 3 se vidi, da stepen pokrivenosti zavisi od vremena izloženosti elektrode rastvoru inhibitora. Uočljivo je da se najveći stepen pokrivenosti postiže nakon stajanja elektrode od 60 min u rastvoru inhibitora ($0,017 \text{ mol}/\text{dm}^3$ PMT-a) i

iznosi 87,24 %. Vrednosti stepena pokrivenosti nakon stajanja od 5 i 15 min u $0,017 \text{ mol/dm}^3$ rastvoru PMT-a su takođe veoma visoke.

Stepen pokrivenosti ima veće vrednosti nakon stajanja elektrode u rastvoru PMT-a, u odnosu na stepen pokrivenosti dobijen u rastvoru boraksa kome je dodat PMT u različitim koncentracijama.

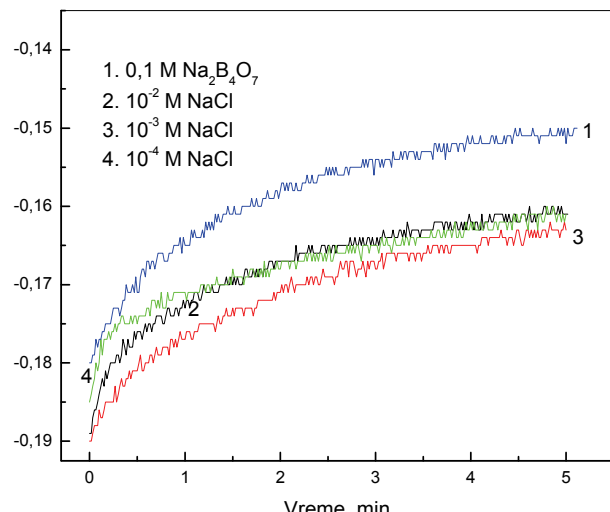
3.3. Uticaj hlorida

3.3.1. Potencijal otvorenog kola

Na slici 6 je prikazan potencijal otvorenog kola elektrode Cu24Zn5Al u rastvoru boraksa i boraksa sa različitim koncentracijama hlorida ($1 \cdot 10^{-2}$, $1 \cdot 10^{-3}$ i $1 \cdot 10^{-4} \text{ mol/dm}^3$), a u Tabeli 4 su prikazane brojne vrednosti potencijala otvorenog kola nakon 5 min merenja.

Tabela 4 - Zavisnost potencijala otvorenog kola od vremena Cu24Zn5Al legure u rastvorima boraksa sa različitim koncentracijama hloridnih jona

C_{Cl}^- , mol/dm 3	E_{OCP} , V _{ZKE}	I_p , mA/cm 2
$1 \cdot 10^{-2}$	-0,161	0,130
$1 \cdot 10^{-3}$	-0,163	0,103
$1 \cdot 10^{-4}$	-0,161	0,172



Slika 6 - Zavisnost potencijala otvorenog kola od vremena Cu24Zn5Al legure u rastvorima boraksa i boraksa sa različitim koncentracijama hloridnih jona

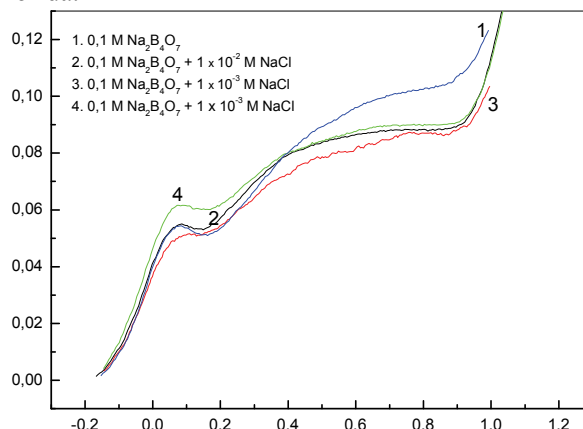
Na slici 6 je uočljivo da se vrednosti potencijala pomeraju u pozitivniju oblast, sa vremenom. Takođe, vidi se da koncentracija hloridnih jona u rastvoru $\text{Na}_2\text{B}_4\text{O}_7$ ne utiče mnogo na potencijal Cu24Zn5Al legure. Ako se uporede vrednosti potencijala otvorenog kola dobijenih u rastvoru boraksa u prisustvu hlorida i bez prisustva hlorida, uočava se da su negativnije vrednosti u prisustvu hlorida, što može da ukaže na korozionu aktivnost hloridnih jona [24-26].

3.3.2. Polarizaciona merenja

Polarizacione krive Cu24Zn5Al legure u rastvorima boraksa i boraksa koji je sadržavao hloridne jone u koncentracijama $1 \cdot 10^{-2}$, $1 \cdot 10^{-3}$ i $1 \cdot 10^{-4} \text{ mol/dm}^3$, prikazane su na slici 7. Anodne polarizacione krive dobijene u rastvorima hlorida različitih koncentracija slične su anodnoj polarizacionoj krivoj dobijenoj u rastvoru čistog boraksa.

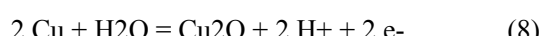
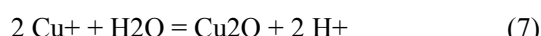
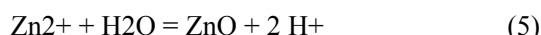
U toku polarizacije, odmah nakon korozionog potencijala, elektroda prelazi u aktivno stanje. Na potencijalu oko 0,070 V, na anodnim polarizacionim krivama pojavljuju se strujni pikovi, koji ukazuju na formiranje oksida bakra (Cu_2O) na površini ispitivane elektrode.

U radu De Sanchez-a i Schiffriena [27] naznačeno je da je formiranje zaštitnih filmova na mesingu u rastvorima hlorida, zavisno od difuzije Cu (I)-hloro kompleksa nastalog primarnom anodnom reakcijom: $\text{Cu} + 2\text{Cl}^- \leftrightarrow \text{CuCl}_2^- + \text{e}^-$ i reakcijom taloženja $2\text{CuCl}_2^- + 2\text{OH}^- \leftrightarrow \text{Cu}_2\text{O} + \text{H}_2\text{O} + 4\text{Cl}^-$. Izrazita rastvorljivost Cu (I)-hloro kompleksa stvara uslove za odvijanje procesa decinkacije mesinga u rastvorima hlorida.



Slika 7 - Polarizacione krive Cu24Zn5Al legure u rastvorima boraksa i boraksa sa različitim koncentracijama hloridnih jona; polarizaciona mrežnja vršena su odmah nakon uranjanja elektrode u rastvor

Prisustvo Cu_2O i ZnO u zaštitnom filmu može se objasniti sledećim jednačinama [14,28]:



Nakon formiranja ovih oksida, na površini legure odvijaju se sledeće reakcije:





Sa slike 7 može se uočiti i inhibitorski efekat hloridnog jona u koncentraciji od $1 \cdot 10^{-3}$ mol/dm³. Ovaj efekat je uočen i u radovima drugih autora. U zavisnosti od sistema i uslova ispitivanja, određivane su i koncentracije hloridnih jona koje imaju inhibitorski efekat na proces korozije legure bakra.

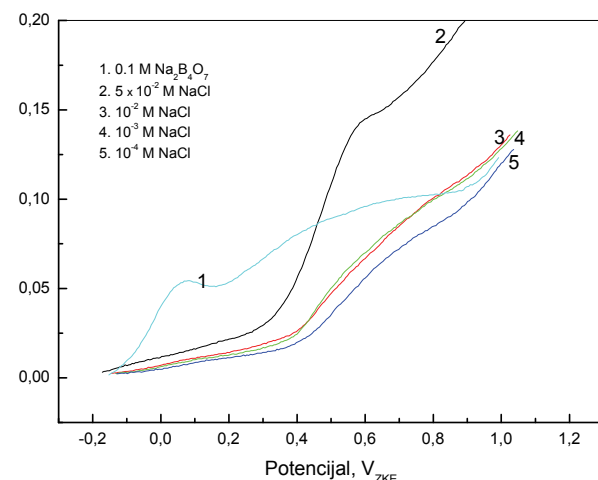
Mnogi autori, kao što je Uhlig sa saradnicima [29], našli su da je koncentracija hloridnih jona od $4 \cdot 10^{-2}$ mol/dm³ optimalna za inhibiranje procesa korozije mesinga 63Cu-37Zn. U radu Kermani-a i Scully-a [30], nađeno je da na mesingu 70Cu-30Zn u $2,7 \cdot 10^{-2}$ mol/dm³ rastvoru hloridnih jona, nema oštećenja površine. U rastvoru hloridnih jona koncentracije $1 \cdot 10^{-3}$ mol/dm³ uočen je neznatan uticaj hlorida na inhibiranje procesa korozije zbog nepostojanja stabilnog CuCl - filma na površini mesinga [31]. Inhibitorski efekat je prisutan kod povećanih koncentracija hloridnih jona ($1,0$ mol/dm³), što se pripisuje formirajuju stabilnog CuCl - filma. Hloridni joni mogu uticati na stabilnost Cu₂O filma, pri čemu može doći do promene zaštitne karakteristike termodinamički stabilnog Cu₂O filma, najverovatnije, ulaskom hloridnog jona u kristalnu rešetku Cu₂O filma [25]. U radu Dinnappa i Mayanna [32], pokazano je da koncentracija hloridnih jona od $1 \cdot 10^{-4}$ mol/dm³ ima inhibitorski efekat na proces korozije mesinga 60Cu-40Zn u odnosu na koncentraciju hloridnih jona od $1 \cdot 10^{-6}$ mol/dm³. Povećanje koncentracije hloridnih jona preko $1 \cdot 10^{-4}$ mol/dm³ rezultuje usporenim procesom rastvaranja mesinga. Ispitivana Cu24Zn5Al legura ima u svom sastavu, pored Al, bakar i cink koji su glavni konstituenti mesinga, pa je nađeni inhibitorski efekat ovih jona u saglasnosti sa prethodno iznetim rezultatima koji su nađeni u literaturi.

Porast potencijala preko 0,9 V (slika 7) dovodi do naglog porasta vrednosti gustine struje, što se može objasniti aktivatorskim efektom hloridnih jona i narušavanjem stabilnog Cu₂O/CuCl filma. Proces korozije ispitivane elektrode je intenzivan.

3.2.3. Uticaj predtretmana

Na slici 8 prikazane su polarizacione krive Cu24Zn5Al u rastvorima boraksa i boraksa u prisustvu različitih koncentracija hlorida ($5 \cdot 10^{-2}$, 10^{-2} , 10^{-3} i 10^{-4} mol/dm³) sa prethodnim stajanjem Cu24Zn5Al elektrode u 0,017 mol/dm³ rastvoru PMT-a. Cu24Zn5Al elektroda je stajala 15 min u 0,017 mol/dm³ rastvora PMT-a nakon čega je ispirana destilovanom vodom i prenošena u rastvore boraksa sa različitim koncentracijama hlorida, u kojima su izvršena polarizaciona merenja.

Na slici 8 se uočavaju male anodne struje kod svih koncentracija hloridnih jona, ali u opsegu potencijala koji se nalazi između korozionog i 0,4 V. To govori da je u ovoj oblasti potencijala, Cu24Zn5Al legura zaštićena od dejstva hloridnih jona usled adsorpcije inhibitora. Takođe, može se videti da je porast vrednosti gustina struje u rastvorima hlorida na potencijalima većim od 0,4 V izrazit i da oblast pasivnosti ne postoji, kakav je bio slučaj sa potencijalima od korozionog do 0,4 V. Najizraženiji porast vrednosti gustine struje prisutan je kod koncentracije hloridnih jona od $5 \cdot 10^{-2}$ mol/dm³. Porast gustina struje se može objasniti aktivatorskim dejstvom hloridnih jona na zaštitni film i njegovom degradacijom [25, 26, 33, 34].



Slika 8 - Polarizacione krive Cu24Zn5Al legure u rastvorima boraksa i boraksa u prisustvu različitih koncentracija hlorida sa prethodnim stajanjem Cu24Zn5Al elektrode u 0,017 mol/dm³ rastvoru PMT-a

Na osnovu polarizacionih krivih, izračunavan je stepen pokrivenosti elektrode Cu24Zn5Al u rastvorima boraksa koji sadrže različite koncentracije hloridnih jona, sa prethodnim stajanjem elektrode u 0,017 mol/dm³ rastvoru PMT-a, za različite potencijale i rezultati su dati u tabeli 5.

Tabela 5 - Vrednosti stepena pokrivenosti elektrode Cu24Zn5Al u rastvorima boraksa koji sadrže različite koncentracije hloridnih jona sa prethodnim stajanjem elektrode u 0,017 mol/dm³ rastvoru PMT-a

C _{NaCl} [mol/dm ³]	θ[%]		
	0,0	0,2	0,4
10 ⁻²	82,63	75,29	62,95
10 ⁻³	83,50	76,28	66,21
10 ⁻⁴	90,05	81,86	74,99

Stepen pokrivenosti ima najveće vrednosti kod nižih potencijala i pri nižim koncentracijama hloridnih jona. Povećanje vrednosti koncentracije hloridnih jona dovodi do smanjenja vrednosti stepena inhibiranja. Ovo ukazuje na odvijanje procesa adsorpcije hloridnih jona na površini elektrode i razaranja zaštitnog filma. PMT se adsorbuje na površini legure bakra prema Lengmirovoj izotermi kada dolazi do hemisorpkcije PMT molekula na površini legure [35].

4. ZAKLJUČAK

U boratnim rastvorima potencijal otvorenog kola postaje negativniji sa porastom koncentracije inhibitora i kreće se u granicama od - 0,165 V_{ZKE} do - 0,194 V_{ZKE}. Sa anodnih polarizacionih krivih za Cu24Zn5Al leguru u rastvorima boraksa bez prisustva inhibitora PMT-a, uočava se jasan strujni pik. Potencijal uočenog strujnog pika odgovara građenju Cu₂O. Na tom potencijalu se dešava oksidacija Cu do Cu⁺.

Koncentracija PMT-a u rastvorima 0,1 mol/dm³ Na₂B₄O₇ pri kojoj se dostiže maksimalni stepen pokrivenosti od 81,84 % je 1·10⁻³ mol/dm³.

Eksperimenti su pokazali da se potencijal otvorenog kola legure Cu24Zn5Al u rastvoru 0,1 mol/dm³ Na₂B₄O₇ neznatno menja sa porastom vremena stajanja u rastvoru PMT-a. Što je duže Cu24Zn5Al elektroda bila uronjena u rastvor PMT-a, stepen pokrivenosti je bio veći. Uočljivo je da se najveći stepen pokrivenosti postiže nakon stajanja elektrode u vremenu od 60 min u rastvoru inhibitora (0,017 mol/dm³ PMT-a) i iznosi 87,24 %.

Stepen pokrivenosti beleži veće vrednosti nakon stajanja elektrode u rastvoru PMT-a u odnosu na stepen pokrivenosti dobijen iz rastvora boraksa kome je dodat PMT u različitim koncentracijama.

U rastvoru boraksa koji sadrži različite koncentracije hloridnih jona, potencijal otvorenog kola je negativniji u odnosu na rastvor boraksa bez hlorida. Anodne polarizacione krive dobijene u rastvorima hlorida različitih koncentracija, slične su polarizacionoj krivoj dobijenoj u rastvoru čistog boraksa.

U toku polarizacije, odmah nakon korozionog potencijala, elektroda prelazi u aktivno stanje. Na potencijalu oko 0,070 V_{ZKE}, na anodnim polarizacionim krivama pojavljuju se strujni pikovi koji prikazuju formiranje oksida bakra (Cu₂O) na površini ispitivane elektrode.

PMT se adsorbuje na površini legure bakra prema Lengmirovoj izotermi. Vrednost adsorpcione slobodne energije iznosi - 45,8 kJ/mol i ukazuje na hemisorpkciju.

Zahvalnost

Autori se zahvaljuju Ministarstvu za nauku i zaštitu životne sredine Srbije što je omogućilo finansiranje ovog rada (Projekat 142 012).

LITERATURA

- [1] Kočovski B., Bakar i njegove legure, Bor, 1991.
- [2] Chou T.C., Journal of Materials Science, 33 (14) (1998) 3585.
- [3] Mountassir Z., Srhiri A., Corrosion Science, 49 (3) (2007) 1350.
- [4] Osman M.M., Materials Chemistry and Physics, 71 (2001) 12.
- [5] Kosec T., Milošev I., Pihlar B., Applied Surface Science, 253 (2007) 8863.
- [6] Nagiub A., Masfeld F., Corrosion Science, 43 (2001) 2147.
- [7] Mihit M., Salghi R., El Issami S., Bazzi L., Hammouti B., Ait Addi E.H., Kertit S., Pigment & Resin Technology, 35 (3) (2006) 151.
- [8] Szőcs E., Vastag Gy., Shaban A., Kálmán E., Corrosion Science, 47 (2005) 893.
- [9] Teleghi J., Shaban A., Kalman E., Electrochimica Acta, 45 (2000) 3639.
- [10] Vastag Gy., Szocs E., Shaban A., Kalman E., Pure Appl. Chem., 73 (12) (2001) 1861.
- [11] Henriquez-Roman J.H., Padilla-Campos L., Paez M.A., Zagal J.H., Rubio M.A., Ramgel C.M., Costamagna J., Cardenas-Jiron G., Journal of Molecular Structure: THEOCHEM, 757 (2005) 1.
- [12] Otieno-Alego V., Hope G.A., Notoya T., Schweinsberg D.P., Corrosion Science, 38 (2) (1996) 213.
- [13] Dafali A., Hammouti B., Touzani R., Kertit S., Aouniti A., El Kaceni K., Ann.Chim. Sci. Meter., 22 (2000) 437.
- [14] Ravichandran R., Rajendran N., Applied Surface Science, 239 (2005) 128.
- [15] de Chailvo M.R.G., Salvarezza R.C., Vasquez Moll D., Arvia A.J., Electrochimica Acta, 30 (1985) 1501.
- [16] Kear G., Barker B.D., Stokes K.R., Walsh F.C., Corrosion Science, 47 (2004) 1694.
- [17] Tromans D., J. Electrochem. Soc., 145 , 3 (1998) 44.
- [18] Bertrand G., Rocca E., Savall C., Rapin C., Labrunie J.C., Steinmetz P., J. Electroanal. Chem., 489 (2000) 38.
- [19] Pourbaix M., Atlas of Electrochemical Equilibria in Aqueous Solutions, Pergamon, London (1966) 168.
- [20] Ye X.R., Xin X.Q., Zhu J.J., Xue Z.L., Applied Surface Science, 135 (1998) 307.
- [21] Szőcs E., Vastag Gy., Shaban A., Konczos G.,

- Kálmán E., Journal of Applied Electrochemistry, 29 (1999) 1339.
- [22] Asan A., Kabasakaloglu M., Isiklan M., Kilic Z., Corrosion Science, 47 (2005) 1534.
- [23] Mnov S., Lamazouere A.M., Aries L., Corrosion Science, 42 (2000) 1235.
- [24] El-Rehim, S.S.A., Assaf F.H., El Sayed A., Mat. Trans., JIM, 36 (6) (1995) 770.
- [25] Nunez L., Reguera E., Corvo F., Gonzales E., Vasquez C., Corrosion Science, 47 (2005) 461.
- [26] Park H.G., Jung-Gu K., Yun-Mo C., Han J.G., Ahn S.H., Lee C.H., Surface and Coatings Technology, 200 (2005) 77.
- [27] De Sanchez S.R., Schiffri D.J., Corrosion Cience, 28 (1988) 4.
- [28] Saber T.M.H., El-Warraky A.A., British Corrosion Journal, 26 (4) (1991) 279.
- [29] Uhlig H., Gupta K., Liang W., J. Electrochem. Soc., 122 (1975) 343.
- [30] Kermani M., Scully J.C., Corrosion Science, 19 (1979) 111.
- [31] Torchio S., Corrosion Science, 26 (2) (1986) 133.
- [32] Dinnappa R.K., Mayanna S.N., Corrosion Science, 27 (4) (1987) 349.
- [33] El-Sherif R.M., Ismail K.M., Badawy W.A., Electrochimica Acta, 49 (2004) 5139.
- [34] Kear G., Barker B.D., Walsh H.C., Corrosion Science, 46 (2004) 109.
- [35] Mihit M., El Issami S., Boukla M., Bazzi L., Hammouti B., Applied Surface Science, 252 (6) (2005) 2389.

SUMMARY

ELECTROCHEMICAL BEHAVIOR OF CU24ZN5AL ALLOY IN BORAX BUFFER SOLUTION IN THE PRESENCE OF 1-PHENYL-5-MERCAPTO TETRAZOLE

The results of investigation of the effect of 1-phenyl-5-mercapto tetrazole (PMT) on electrochemical behavior of Cu24Zn5Al alloy in borax solutions, are presented in this paper. The polarization measurements were conducted in 0,1 mol/dm³ borax solutions containing various concentrations ($1 \cdot 10^{-6}$ mol/dm³÷ $1 \cdot 10^{-2}$ mol/dm³) of 1-phenyl-5-mercapto tetrazole, as well as after electrode exposure (5, 15 and 60 min) in PMT solution. 1-phenyl-5-mercapto tetrazole was found to indicates better inhibition effect when Cu24Zn5Al electrode was previosly immersed in a PMT solution. Also, the polarization measurements were performed in borax solution containing various concentrations ($1 \cdot 10^{-4}$ mol/dm³÷ $5 \cdot 10^{-2}$ mol/dm³) of chloride ions, with (15 min) and without previous immersion of electrode in PMT solution. The high values of chloride ions concentrations decrease of the electrode surface coverage degree. Results show that 1-phenyl-5-mercapto tetrazole was adsorbed on the electrode surface according to the Langmuir adsorption isotherm.

Key words: Cu24Zn5Al alloy, 1-phenyl-5-mercapto tetrazole, borax buffer, chloride ions, corrosion